

# بررسی تاثیر فاصله توقف بر مورفولوژی و خواص مکانیکی فصل مشترک اتصال انفجاری صفحات سه لایه ضخیم AlMg5-Al-Steel

امیرا کرامی<sup>۱</sup>، محمد رضا خانزاده قره شیران<sup>\*</sup><sup>۲</sup>، حمید عربی<sup>۳</sup>

۱- عضو هیأت علمی، مرکز تحقیقات مواد پیشرفته، دانشکده مهندسی مواد، واحد نجف آباد، دانشگاه آزاد اسلامی، نجف آباد، اصفهان، ایران

۲- استادیار، مرکز تحقیقات مهندسی پیشرفته، واحد شهر مجلسی، دانشگاه آزاد اسلامی، اصفهان، ایران

۳- دانشجوی دکتری مهندسی مواد، دانشگاه صنعتی مالک اشتر، تهران، ایران

\*m.khanzadeh@iaumajlesi.ac.ir

(تاریخ دریافت: ۹۲/۱۲/۲۴، تاریخ پذیرش: ۹۳/۰۴/۳۰)

## چکیده

در این مقاله تاثیر پارامتر فاصله توقف بر مورفولوژی و خواص مکانیکی فصل مشترک اتصال آلیاژهای AlMg5-Al-Steel مورد بررسی قرار گرفته است. نتایج نشان داده با تغییر فاصله توقف و تغییر میزان انرژی جنبشی مصرفی ناشی از برخوردشکل فصل مشترکهای حاصله از حالت موجی-مسطح به موجی و موجی گردابه ای تغییر می نماید. با افزایش فاصله توقف به دلیل انتقال انرژی برخوردی بیشتر، در مجاورت گردابه های امواج در فصل مشترک آلمینیوم - فولاد مناطق ذوب موضعی تشکیل شده که ترکیب این مناطق براساس ماهیت حرکت چرخشی جت جهنده ترکیبی از عناصر دو صفحه بوده است. این مناطق به دلیل تمرکز تنش، باعث افت خواص استحکامی در فصل مشترک شده اند. نتایج هم چنین نشان داده حد استحکامی کلیه اتصالات در فصل مشترک آلمینیوم به فولاد از حد استاندارد بالاتر بوده است و نمونه ای که فاقد ترکیبات ذوب موضعی و دارای شکل فصل مشترک موجی بوده بالاترین استحکام را داشته است.

## واژه های کلیدی:

جوشکاری انفجاری، فاصله توقف، مناطق ذوب موضعی، جت جهنده، انرژی جنبشی برخورد.

## ۱- مقدمه

سرعت صفحه پرنده، سرعت برخورد، زاویه دینامیکی برخورد، فاصله توقف و نسبت بار انفجاری از متغیرهای اساسی این روش می باشند [۳]. آلیاژهای آلمینیوم حاوی منیزیم در اتصالات سه لایه استفاده می شوند و معمولاً با صفحه های واسط از جنس آلمینیوم، تیتانیم، فولاد ضد زنگ و مس به فولادجوشکاری

جوشکاری انفجاری یکی از فرایندهای جوشکاری حالت جامد است که با استفاده از نیروی انفجاری، صفحه پرنده به صفحه پایه با سرعت بالایی برخورد نموده و در اثر فشار اعمالی در نقطه برخورد با ایجاد رفتار سیال گونه فلزات و تشکیل جت جهنده در فصل مشترک، اتصالدهی صورت می پذیرد [۳-۱]. شتاب و

فصل مشترک حاصل با صفحه واسط فولاد زنگ نزن در دو سمت موجی شکل گزارش شده و لایه میانی بین فلزی به ضخامت  $10-30 \mu\text{m}$  به دلیل انرژی برخوردی بالا تشکیل شده که در سمت با انرژی برخوردی کمتر این ضخامت کاهش یافته است. ضخامت لایه میانی بین فلزی با تغییر سرعت برخورد در انرژی جنبشی ثابت تغییر نموده است. در سرعت برخورد کم، ضخامت این لایه غیر یکنواخت گزارش شده و علت آن حد پایین شرایط تشکیل جت جهنه ذکر شده است. هم چنین تاثیر تغییرات ضخامت صفحه واسط آلومینیوم  $1050$  در محدوده ضخامتی  $0.2-2$  میلی متر بر اتصال سه لایه آلومینیوم  $5083$  با ضخامت  $5$  میلی متر به فولاد SS41 با ضخامت  $9$  میلی متر مورد بررسی واقع شده است، در فصل مشترک اتصال آلومینیوم ها در تمامی ضخامت های صفحه واسط فصل مشترکی مسطح ایجاد شده است و یک لایه میانی در فصل مشترک صفحه واسط و فولاد تشکیل شده که به صورت موجی بی قاعده بوده است، ضخامت لایه میانی بین فلزی با افزایش ضخامت صفحه واسط افزایش نشان داده که به دلیل تغییرات انرژی جنبشی مصرفی ناشی از برخورد بوده است. ترکهای داخلی بدلیل ماهیت ترد و تفاوت ضریب انساط حرارتی مواد در لایه میانی فصل مشترک ایجاد شده است. بررسی میکروسکوپ الکترونی عبوری دانه های نانو ذره با ساختار کریستالی  $\text{FeAl}_3$  را در لایه میانی را نشان داده که با افزایش ضخامت صفحه واسط ضخامت لایه میانی بیشتر شده و استحکام افت نموده است. به همین دلیل استفاده از صفحه واسط نازک جهت کاهش ضخامت لایه میانی پیشنهاد شده است [۷]. اکبری موسوی و همکاران [۸] جوشکاری انفجاری سه لایه آلومینیوم  $5083$  - فولاد دریابی - آلومینیوم  $1250$  را به کمک ماده منفجره آنفو با سرعت  $2480 \text{ m/s}$  در چیدمان موازی انجام داده اند، نتایج آنها نشان داده با تغییر بار انفجاری و فاصله توقف، شکل امواج فصل مشترک تغییر نموده و با افزایش این متغیرها در مجاورت گردابه امواج و در فصل مشترک مناطق ذوب موضعی تشکیل شده است. ترکیب این مناطق از نوع  $\text{FeAl}_3$ ,  $\text{FeAl}_2$  گزارش شده است. نتایج استحکامی نشان داده

انفجاری شده اند. عمدۀ استفاده این آلیاژها در صنایع کشتی سازی است. عرشه کشتی ها از جنس فولاد دریابی بوده و در ناحیه روسازه یا سوپر استراکچر از آلیاژ آلومینیوم سری  $5000$  و از آلیاژ آلومینیوم سری  $1000$  نیز به عنوان صفحه واسط استفاده می شود. علت استفاده از آلومینیوم در نواحی سوپر استراکچر آنست که باعث کاهش وزن در ناحیه فوقانی شده و افزایش حرکت و تعادل شناور را منجر می شود. روش‌های سنتی اتصال‌دهی ذوبی بدلیل تفاوت درجه حرارت ذوب آلومینیوم ( $600-700^\circ\text{C}$ ) با فولاد ( $1500-1600^\circ\text{C}$ ) و هم چنین احتمال ایجاد فازهای ترد بین فلزی ذوبی مناسب نبوده و از روش‌های اتصال‌دهی حالت جامد استفاده می شود. عنصر منیزیم دارای نقطه ذوب کم و فشار بخار بالایی است، در صورت اتصال مستقیم آلیاژ آلومینیوم حاوی این عنصر به فولاد مشاهده شده حفرات میکروسکوپی و ترک تمایل به ایجاد در بسته های مذابی داشته که در صد منیزیم در آنها افزایش داشته است. با تشکیل مذاب در فصل مشترک، دمای مذاب بالاتر از دمای بخار شدن منیزیم قرار گرفته و پس از انجام بخشی از منیزیم در فلز مذاب حل شده و باعث شکل گیری رسوبات حاوی عنصر منیزیم همراه با حفرات می شود. مشاهده شده با افزایش درصد منیزیم، سختی لایه مذاب و مناطق نزدیک به فصل مشترک افزایش یافته است که باعث ضعیف شدن و عدم پیوند اتصال شده است. منیزیم حل شده در فلز مذاب، دامنه انجام دمای مذاب و زمان انجام را افزایش می دهد. در نتیجه چقمرمگی باند اتصال حالت جامد کاهش یافته و در اثر عبور موج شوک انفجار اتصال به راحتی جدا شده است [۵-۶]. ایزوما و همکاران [۶] اتصال سه لایه آلیاژ آلومینیوم  $5083$  به ضخامت  $4 \text{ mm}$  به فولاد زنگ نزن  $304$  را با صفحه واسطی از جنس فولاد زنگ نزن  $304$  با ضخامت های  $1-1.5$  میلی متر بررسی نموده اند. نتایج نمایانگر ایجاد ترکیبات بین فلزی در فصل مشترک اتصال بوده که ضخامت این لایه با کاهش انرژی جنبشی مصرفی کاهش یافته است. جوش بهینه در این اتصال در محدوده انرژی جنبشی  $10/55 \text{ J/mm}^2$  شده که سرعت برخورد در محدوده  $350-670 \text{ m/s}$  بوده است.

مایین دو آلیاژ جهت ایجاد یک باند اتصالی مناسب پیشنهاد می شود. این موضوع بدلیل نقطه ذوب بالاتر و دامنه انجمادی نزدیک به صفر و هدایت حرارتی بالاتر فلز Al است که میزان فاز مذاب تشکیل شده در فصل مشترک اتصال آلمینیوم/فولاد را کاهش می دهد [۲].

- آلیاژها ابتدا سند بلاست، زنگ زدایی شده و سپس به ابعاد زیر و به صورت مستطیل شکل برشکاری شدنند:
- ۱- صفحه پایه فولادی به ابعاد طول ۳۰۰ میلی متر، عرض ۲۵۰ میلی متر و ضخامت ۲۰ میلی متر
  - ۲- صفحه بواسطه آلمینیوم ۱۰۵۰ به ابعاد طول ۳۰۵ میلی متر، عرض ۲۵۵ میلی متر و ضخامت ۱۰ میلی متر
  - ۳- صفحه پرنده آلمینیوم ۵۰۸۳ به ابعاد طول ۳۱۰ میلی متر، عرض ۲۶۰ میلیمتر و ضخامت ۷ میلی متر

ورقهای سپس با سنباده ۶۰۰، ۸۰۰ و ۱۲۰۰ سنباده زده شده و پولیش و پرداخت شدند تا کاملا تمیز و عاری از هر گونه آلودگی سطحی باشند. سپس ورقهای با محلول CaOH و اتانول ۹۵ درصد یا استون شستشو داده شده و قبل آزمون با آب شسته شده و خشک شدند. خواص مکانیکی و فیزیکی این ورقهای در جدول انشان داده شده است.

در نسبتهای کم بار انفجاری به دلیل افزایش تغییر شکل پلاستیک در لایه های مجاور فصل مشترک استحکام افزایش نشان داده و در بار انفجاری زیاد به دلیل افزایش انرژی جوشکاری و ایجاد بسته های ترد بین فلزی در فصل مشترک استحکام افت نموده است. نتایج سختی سنگی نیز نمایانگر افزایش سختی بدلیل عبور امواج شوک انفجار در مناطق مجاور فصل مشترک اتصال بوده است.

درین پژوهش جوشکاری انفجاری ورقهای ضخیم آلمینیوم ۵۰۸۳ به فولاد AISI1515 با لایه بواسطه آلمینیوم ۱۰۵۰ ضخیم مورد بررسی قرار گرفته و تاثیرات تغییر پارامتر فاصله توقف بر شکل و خواص فصل مشترک ها مورد بررسی قرار گرفته است.

## ۲- مواد و روشهای آزمون

ورق های آلمینیوم ۵۰۸۳ و ۱۰۵۰ به ترتیب بعنوان صفحات پرنده و بواسطه، ورق فولادی AISI1515 به عنوان صفحه پایه در نظر گرفته شده است. انتخاب آلیاژ آلمینیوم ۱۰۵۰ به عنوان لایه بواسطه جهت کاهش ترکیبات بین فلزی در فصل مشترک صورت می گیرد. جهت جوشکاری آلیاژهای Al-Zn-Mg به طور مستقیم به فولاد بدلیل محدوده انجمادی گستره و چگالی نسبتاً پایین آلیاژ، استفاده از یک لایه بواسطه از جنس Al خالص

جدول (۱): خواص مکانیکی و فیزیکی آلیاژهای مورد استفاده

مواد	(چگالی kg/m <sup>3</sup> )	استحکام تسلیم (MPa)	Hv سختی	سرعت انتشار صوت (cm/s)
AISI ۱۵۱۵	۷۸۵۰	۳۵۵	۱۸۰	۴۸۰۴
AA1050	۲۷۱۰	۱۰۰	۳۰	۴۹۹۶
AA5083	۲۶۶۰	۳۲۰	۸۲	۵۰۹۰

نحوه قرار گیری نمونه ها به صورت سیستم آرایش موازی مطابق شکل ۱ بر روی سکوی بتی با بستره از شن نرم به عنوان لایه بافر بوده است. چاشنی شماره ۸ جهت تحریک مطابق قرار گیری در شکل ۱ استفاده شده است.

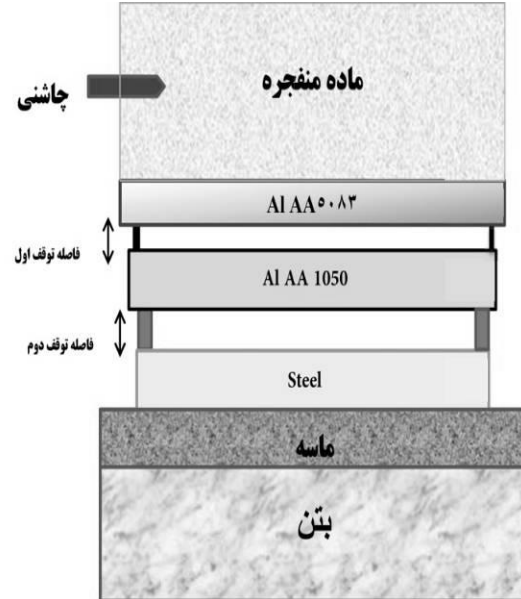
برای انجام آزمونها از ماده منفجره انفو با سرعت انجار m/s ۲۷۰۰ و چگالد kg/m<sup>3</sup> ۹۰۰ با دانه بندی μm ۲۰۰ استفاده شده است. جدول ۲ نمایانگر پارامترهای طراحی شده برای اتصالدهی ورقها است.

جدول (۲): پارامترهای آزمونهای طراحی شده

ضخامت ماده منفجره (mm)	فاصله توقف مایین صفحه پایه فولادی و صفحه واسط (mm)	فاصله توقف مایین صفحه پرنده و صفحه واسط (mm)	شماره آزمون
۵۰	۸	۱۰	۱
۵۰	۸	۸	۲
۵۰	۱۰	۶	۳

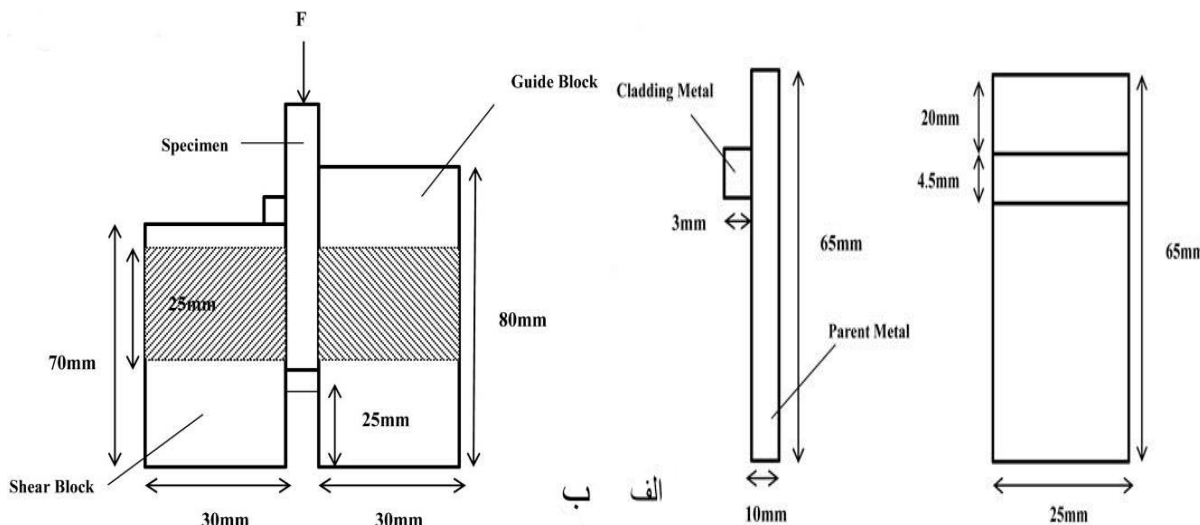
دستگاه واپرکات به ابعاد یک سانتی متر در یک سانتی متر در جهت عمود بر جبهه انفجار انتخاب شده و بریده شدند. هر یک از نمونه ها طی مراحل مختلف با استفاده از کاغذ سنباده های شماره ۶۰ تا ۱۲۰۰ سنباده زنی شده و سپس توسط خمیر الماسه پولیش شدند. برای بررسی ریز ساختاری، محلول حکاکی نایتال ۲ درصد برای فولاد استفاده شد. بررسی دقیق تر فصل مشترکهای حاصله با کمک آنالیزهای الکترون بازگشتی میکروسکوپ الکترونی روبشی صورت پذیرفت. برای این آزمایش ها از میکروسکوپ الکترونی روبشی مدل VEGA TESCAN استفاده شد. برای بررسی و آنالیز ترکیب شیمیایی فازهای موجود در فصل مشترک و توزیع عنصری از آنالیز انرژی پرتو ایکس<sup>۲</sup> موجود در دستگاه میکروسکوپ الکترونی استفاده شد.

برای بررسی استحکام برشی اتصالات، مطابق استاندارد DIN50162 [۱۰] نمونه های استحکام برشی آماده شدند. شماتیک آزمون و نمونه ها در شکل ۲ نشان داده شده است. نمونه ای عمود بر جهت انفجار از داخل نمونه های اتصال یافته مطابق استاندارد توسط واپر کات ساخته شد. سپس با دستگاه کشش و قید و بند مخصوصی مطابق شکل ۲ نمونه ها تحت فشار قرار گرفتند. ابتدا مساحت دقیق زائد، اندازه گیری شده و پس از قرار گیری نمونه در قید و بند، فشار با سرعت حرکت فک های فشاری ۱ میلیمتر بر دقیقه بر نمونه وارد شد. تنش شکست بر اساس تقسیم ماکریم حد نیرو اعمالی بر مساحت زائد گزارش شده است.

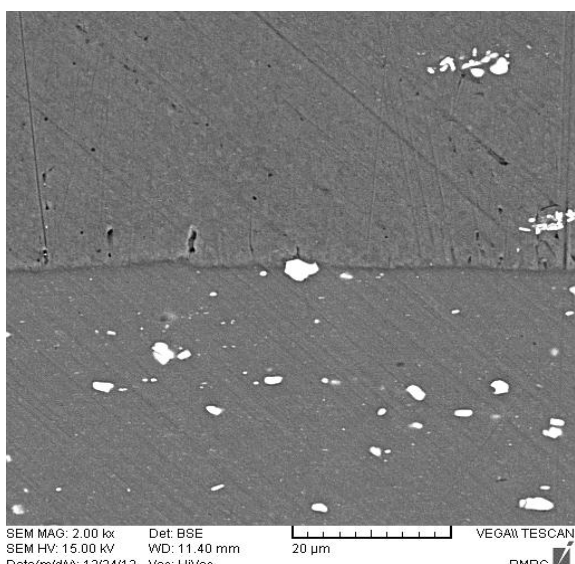


شکل (۱): تنظیم آزمونهای انفجاری

هم چنین فاصله توقف مایین ورقها نیز به کمک فاصله دهنده های مسی با ابعاد مناسب (به ارتفاع فاصله های توقف طراحی شده جدول ۲) ایجاد شدند. ماده منفجره مطابق شکل ۳ در داخل یک جعبه چوبی با ابعاد مناسب در بالای ورق پرنده مستقر شد. جهت اطمینان از یکنواختی و عدم وجود از هم گسیختگی، آزمون غیر مخرب ماورا صوت بر اساس استاندارد ASTM A578 [۹] روی همه اتصالات انجام شد. پس از بازرسی، از مناطق مورد تایید برای آزمایش های بعدی نمونه برداری انجام شد. برای بررسی چگونگی اتصال و تغییرات ریز ساختاری، آزمونهای متالوگرافی توسط میکروسکوپ نوری بر تمام فصل مشترکهای حاصله صورت پذیرفت. مقاطع انتخابی توسط



شکل (۲): روش و نمونه آزمون استحکام برشی اتصال بر اساس استاندارد DIN50162: (الف): نمونه آزمون، (ب): فیکسچر و نحوه انجام آزمون [۱۰].



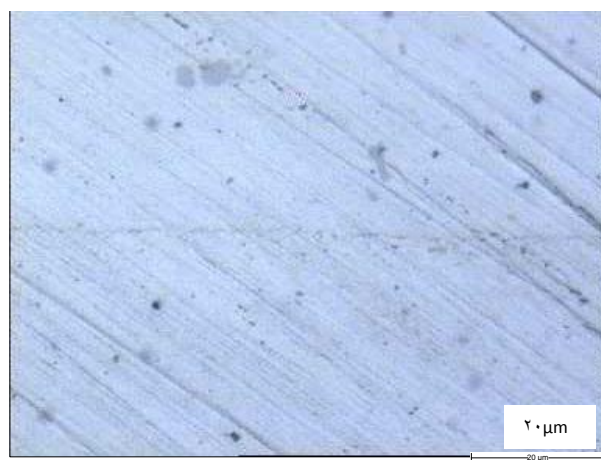
شکل (۴): تصویر میکروسکوب الکترونی رویی فصل مشترک اتصال آلمینیوم ها آزمون شماره یک (آلمینیوم ۱۰۵۰ صفحه واسط در بالای آلمینیوم تصویر)

همان طور که شکل‌های ۳ و ۴ نشان می‌دهند فصل مشترکی موجی-مسطح در اتصال آلمینیوم ها درین آزمون ایجاد شده است. شکل ۵ نمایانگر تصویر میکروسکوب الکترونی رویی فصل مشترک اتصال آلمینیوم صفحه واسط به فولاد (قسمت تیره تر) است.

### ۳- نتایج و بحث

#### ۳-۱- بررسی ریزساختاری آزمون شماره یک

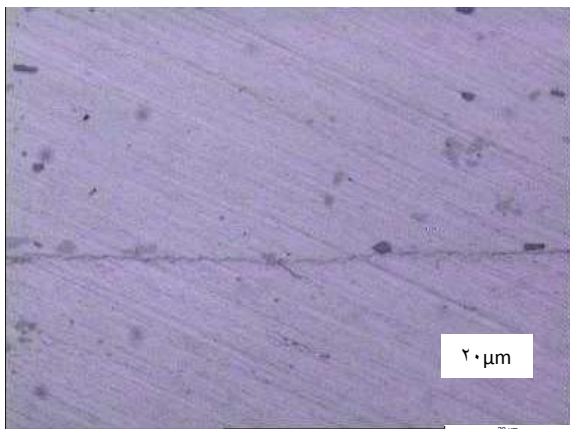
شکل‌های ۳ و ۴ نمایانگر تصاویر متالوگرافی نوری و میکروسکوپ الکترونی رویی فصل مشترک اتصال مابین آلمینیوم ها است.



شکل (۳): تصویر تهیه شده توسط میکروسکوپ نوری فصل مشترک اتصال آلمینیوم ها، آزمون شماره یک (آلمینیوم ۱۰۵۰ صفحه واسط در بالای آلمینیوم تصویر)

### ۲-۳- بررسی ریزساختاری آزمون شماره دو

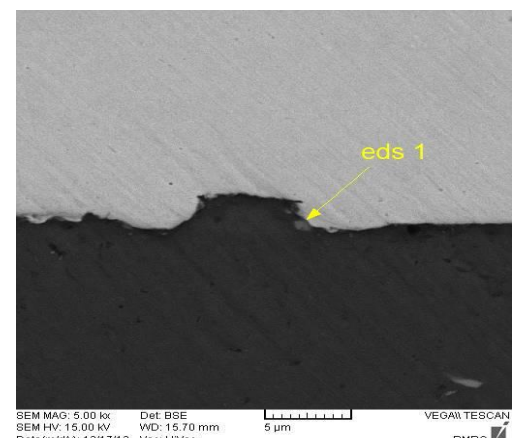
شکل‌های ۶ و ۷ نمایانگر تصاویر میکروسکوپ نوری و میکروسکوپ الکترونی رویشی فصل مشترک اتصال آلومینیوم ها به یکدیگر است.



شکل (۶): تصویر تهیه شده توسط میکروسکوپ نوری فصل مشترک اتصال آلومینیوم ها آزمون شماره دو (آلومینیوم صفحه واسط در بالا)

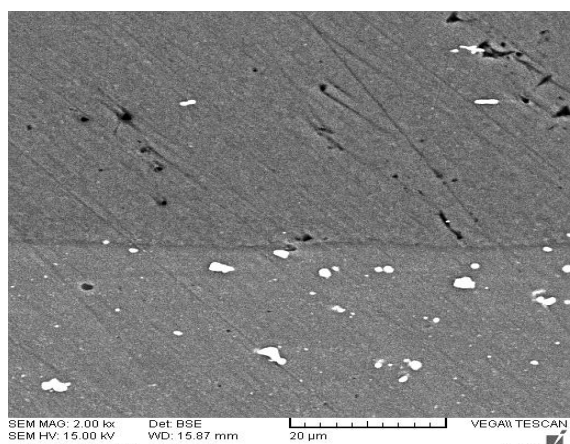


(الف)



(ب)

شکل (۵): (الف): تصویر میکروسکوپ الکترونی رویشی فصل مشترک اتصال اتصال آلومینیوم صفحه واسط به فولاد آزمون شماره یک (ب): منطقه ذوب موضعی فصل مشترک

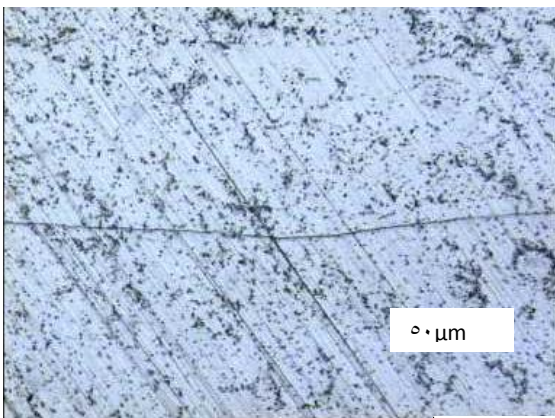


شکل (۷): تصویر میکروسکوپ الکترونی رویشی فصل مشترک اتصال آلومینیوم ها آزمون شماره دو (آلومینیوم ۱۰۵۰ صفحه واسط در بالای تصویر)

همانطور که شکل ۵ نشان می دهد فصل مشترکی موجی-گردابه ای در این آزمون ایجاد شده است. در برخی مناطق مجاور امواج مناطق کوچک ذوب موضعی نیز مشاهده می شود. نتایج آنالیز عنصری پرتو ایکس از منطقه ذوب موضعی نشان داده شده در شکل ۵، در جدول ۳ نشان داده شده است.

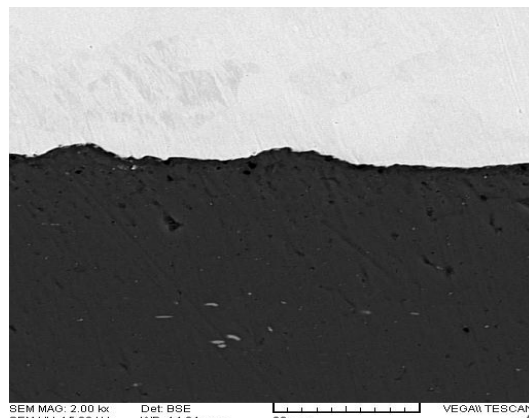
جدول (۳): درصد عناصر آنالیز پرتو ایکس منطقه ذوب موضعی شکل ۵

عنصر	درصد وزنی
Al	80.22
Si	1.89
Fe	17.89



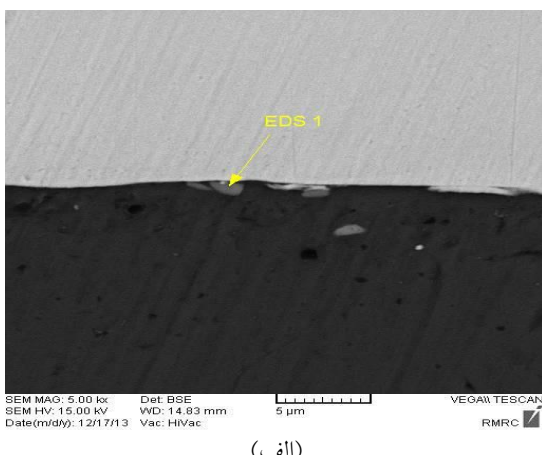
شکل(۱۰): تصویر تهیه شده توسط میکروسکوپ نوری فصل مشترک اتصال آلمینیوم ها آزمون شماره پنج (آلومینیوم صفحه واسط در بالا)

شکل ۱۱ نمایانگر تصویر میکروسکوپ الکترونی روبشی فصل مشترک اتصال آلمینیوم صفحه واسط به فولاد (قسمت تیره تر) است.

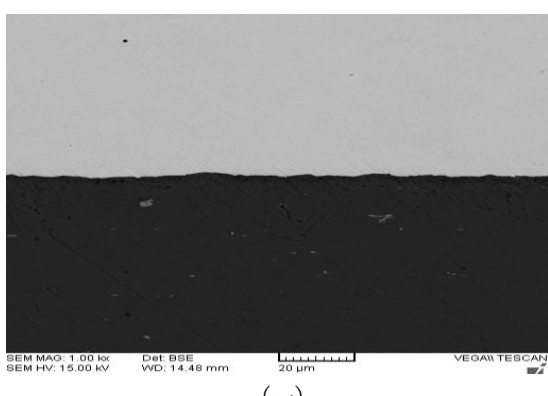


شکل(۸): تصویر میکروسکوپ الکترونی روبشی فصل مشترک اتصال آلمینیوم صفحه واسط به فولاد آزمون شماره دو

همانطور که شکل ۸ نشان می دهد فصل مشترکی موجی در این آزمون ایجاد شده و در مناطق مجاور امواج ذوب موضعی مشاهده نمی شود.

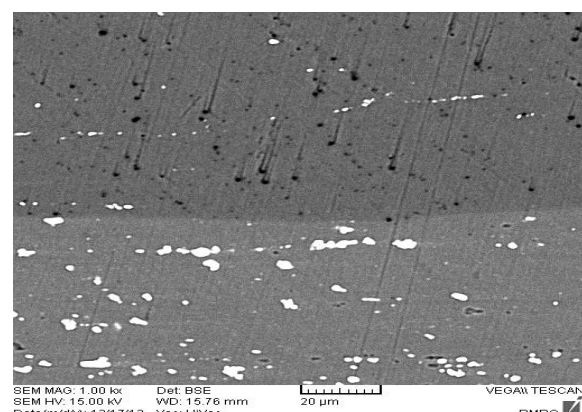


(الف)



شکل(۱۱): (الف): تصویر میکروسکوپ الکترونی روبشی فصل مشترک اتصال آلمینیوم صفحه واسط به فولاد موضعی آزمون شماره سه (ب): مناطق ذوب موضعی فصل مشترک

**۳-۳-۲- بررسی ریزساختاری آزمون شماره سه**  
شکل‌های ۹ و ۱۰ نمایانگر تصویر میکروسکوپ نوری و میکروسکوپ الکترونی روبشی فصل مشترک اتصال آلمینیوم ها است.



شکل(۹): تصویر میکروسکوپ الکترونی روبشی فصل مشترک اتصال آلمینیوم ها آزمون شماره سه (آلومینیوم ۵۰،۱۰ صفحه واسط در بالای تصویر)

همانطور که شکل‌های ۹ و ۱۰ نشان می دهند فصل مشترکی موجی کوتاه در اتصال آلمینیوم ها در این آزمون ایجاد شده است.

شكل پلاستیک کافی نباشد موجهای کوتاه ایجاد شده و منطقه ذوب موضعی پدیدار نمی شود. با افزایش انرژی جنبشی برخوردی تغییر شکل شدید در زیر و تاج موج ایجاد می شود و در نتیجه فشارهای برخوردی بالا، گردابه ها می توانند در فصل مشترک اتصال ایجاد شوند و این گردابه ها ممکن است در برخی مناطق فصل مشترک ایجاد مناطق ذوب موضعی نمایند. این مناطق توسط حرارت داخلی ایجاد شده بر اساس فشار بالای ناشی از امواج شوکی انفجار و تغییر شکل پلاستیکی شدید و ایجاد گرمای بی دررو در اثر گیر افتادن گردابه در جلوی جبهه برخی امواج در اثر استحالة انرژی جنبشی به انرژی حرارتی در طول برخورد و یا حرارت آدیباتیک ناشی از گازهای محبوس ما بین صفحات می توانند ایجاد شده باشد. این مناطق موضعی با فلز سرد اطراف احاطه شده و تحت سرعت سرد شدن بالایی در حد  $10^7 \text{ K/s}$ - $10^5$  قرار دارند [۱۲]. این مناطق کوچک در مجاورت گردابه امواج شکلهای ۵ و ۱۱ مشاهده می شوند. با افزایش فاصله توقف و یا میزان بار انفجاری به دلیل افزایش فشار و انرژی برخورد و دمای ناشی از آن، میزان این مناطق در فصل مشترک خصوصاً در مجاورت گردابه موج ها افزایش می یابد. از آنجایی که به دلیل تفاوت در چگالی و سرعت اشاعه موج در دو فلز، شکل امواج دارای تقارن کامل نمی باشد و هم چنین ضریب هدایت حرارتی فولاد کمتر از ضریب هدایت حرارتی آلمینیوم است، در هنگام سرد شدن این ترکیبات در یک سمت امواج متوجه کزو به جهت انتقال حرارت بیشتر در سمت فولاد مطابق شکلهای ۵ و ۱۱ مشاهده شده اند. آنالیز EDS نیز برای نمونه از داخل منطقه نشان داده شده مربوط به جلوی گردابه های ایجاد شده صورت پذیرفت. که این مناطق و نتایج این آنالیزها در جداول ۳ و ۴ مشاهده می شوند. نتایج این آنالیزها نمایانگر ایجاد ترکیب مخلوط در این مناطق موضعی از دو آلیاژ، بر اساس حرکت تلاطمی و چرخشی جت گیر افتاده تشکیل شده از هر دو صفحه پایه و پرنده در این مناطق می باشد. تشکیل جت چهنه از هر دو صفحه پایه و پرنده و حرکت چرخشی آن توسط محققین دیگر نیز مشاهده شده است [۱۲-۱۴]. برای

همانطور که شکل ۱۱ نشان می دهد فصل مشترکی موجی کوتاه - گردابه ای در این آزمون ایجاد شده است. در برخی مناطق مجاور امواج مناطق کوچک ذوب موضعی نیز مشاهده می شود. نتایج آنالیز عنصری پرتو ایکس از منطقه ذوب موضعی نشان داده شده در شکل ۱۱، در جدول ۴ مشاهده می شود.

جدول (۴): درصد عناصر آنالیز پرتو ایکس منطقه ذوب موضعی شکل ۱۱

عنصر	درصد وزنی
Mg	0.00
Al	68.90
Cr	0.09
Fe	30.47
Ni	0.54

**۳-۴- تحلیل ریز ساختار فصل مشترک آزمون شماره یک**  
همانطور که در شکلهای ۳ و ۴ مشاهده می شود فصل مشترکی موجی - مسطح مایین آلمینیوم ها ایجاد شده است. ایجاد این نوع فصل مشترک به دلیل فاصله توقف بالا و بازگشت امواج شوکی در فصل مشترک اتصال توجیه می شود. به دلیل بالابودن فاصله توقف به نظر می رسد بازگشت موج شوک انفجار صورت پذیرفته و موجهای بازگشتی غیر هم فاز بوده و اثر متقابل آنها موج مسطح شده ایجاد نموده است [۱۱].

فصل مشترک اتصال آلمینیوم به فولاد مطابق شکل ۵ به دلیل اختلاف چگالی دو آلیاژ موجی گردابه ای نامتقارن است. هم چنین به دلیل بالابودن فاصله توقف (جدول ۲) مایین صفحات آلمینیومی و سرعت برخورد بیشتر صفحه پرنده، انرژی جنبشی برخوردی بیشتری به فصل مشترک دوم انتقال یافته و باعث ایجاد فصل مشترکی موجی شکل گردابه ای شده است. در جوشکاری انفجاری دو فصل مشترک فلز به فلز و فلز به مذاب انجامد یافته می تواند در فصل مشترک حاصل شود. در کنار یک سرعت حداقل صفحه پرنده، یک مقدار حداقل انرژی جنبشی برخوردی برای اتصال دهنده وجود دارد، در اثر برخورد صفحه پرنده، انرژی جنبشی مصرفی به انرژی پتانسیل تبدیل شده و منجر به تغییر شکل سطوح برخوردی می شود. اگر مقدار تغییر

مشترک گردا به ای با مناطق ذوب موضعی کوچک در مجاورت گردا به امواج تشکیل شده است.

### ۳-۷- نتایج بررسی استحکام فصل مشترک آلمینیوم به فولاد

جدول ۵ نمایانگر نتایج آزمونهای استحکامی فصل مشترک آلمینیوم به فولاد است.

جدول(۵): نتایج آزمون استحکام برشی فصل مشترک اتصال آلمینیوم صفحه واسطه به فولاد

استحکام (MPa)	آزمون
۷۱	یک
۷۳	دو
۶۹	سه

استحکام برشی فصل مشترکهای اتصالات در هر سه آزمون از حد استحکامی استاندارد بر طبق استاندارد نظامی به شماره Mil-J-۲۴۴۴۵ که حد استحکام برشی استاندارد اتصال Al/steel را ۵۶ MPa معرفی نموده، بالاتر بوده و اتصال مناسبی را ایجاد نموده است [۱۶].

ایجاد فصل مشترکی موجی شکل بدون ترکیبات بین فلزی و مناطق ذوب موضعی در آزمون شماره دو که در شکل ۸ مشاهده می شود باعث ایجاد ماکریزم استحکام در بین آزمونهای دیگر شده است. ایجاد ترکیبات بین فلزی ترد و مناطق ذوب موضعی در مجاورت گردا به امواج آزمون شماره یک مطابق شکل ۵ به عنوان مناطق تمرکز تنش، ایجاد گردا به امواج تیز و تمرکز تنش در راس گردا به ها باعث افت استحکام این آزمون نسبت به آزمون شماره دو شده است. وجود ترکیبات بین فلزی و ذوب موضعی در مجاورت گردا به امواج آزمون شماره سه مطابق شکل ۱۱ و کوتاه شدن دامنه امواج ناشی از کاهش انرژی جنبشی برخوردی انتقالی ناشی از کاهش فاصله توقف آلمینیوم ها که با مقایسه شکلهای ۵، ۸ و ۱۱ مشخص است، باعث کمتر بودن استحکام برشی آزمون شماره سه شده است. آزمون شماره دو با

ترکیبات غیر هم جنس بر اساس انعکاس جت از صفحه با چگالی کمتر، فشار به طور عمده روی صفحه با چگالی بالاتر اعمال می شود و در نتیجه گردا به تشکیل شده در عقب موج بیشتر حاوی مواد صفحه پرنده و گردا به تشکیل شده در جلوی امواج بیشتر حاوی مواد صفحه پایه خواهد بود [۱۱]. براین اساس، ملاحظه می شود که مقادیر عناصر صفحه پایه فولادی نظری آهن در داخل مناطق گردا به ای جلوی امواج حضور دارند. هم چنین نتایج نشان می دهد که آنالیز این ترکیبات در جلوی امواج مختلف با تغییر پارامترهای جوشکاری، تغییر نموده و غیر همگن می باشد که با مقایسه ترکیب آنالیز جدول های ۳ و ۴ مشخص می باشد. براساس ترکیب آنالیز عنصری و بالا بودن درصد عنصر آلمینیوم در منطقه ذوب موضعی فاز بین فلزی احتمالی تشکیل شده از نوع  $\text{FeAl}_3$  است [۱۵].

۳-۵- تحلیل ریز ساختاری فصل مشترک آزمون شماره دو شکلهای ۶ تا ۸ نمایانگر ایجاد فصل مشترک موجی در هر دو فصل مشترک آلمینیوم ها و آلمینیوم به فولاد است. با کاهش فاصله توقف مابین آلمینیوم ها (جدول ۲) و کاهش سرعت حرکت صفحه پرنده و انرژی جنبشی برخوردی انتقال یافته به فصل مشترک آلمینیوم - فولاد، فصل مشترکی موجی شکل بدون مناطق ذوب موضعی و گردا به ای ایجاد شده است.

### ۳-۶- تحلیل ریز ساختاری فصل مشترک آزمون شماره سه

شکلهای ۹ تا ۱۱ نمایانگر ایجاد فصل مشترک موجی و موجی گردا به ای به ترتیب در فصل مشترک آلمینیوم ها و آلمینیوم به فولاد است. به دلیل کاهش فاصله توقف مابین آلمینیوم ها (جدول ۲)، فصل مشترک به سمت حالت مسطح میل نموده است. با کاهش انرژی جنبشی برخوردی انتقال یافته به فصل مشترک فولاد-آلومینیوم ناشی از کاهش فاصله توقف مابین آلمینیوم ها، دامنه امواج نسبت به آزمونهای دیگر که با مقایسه شکلهای ۵، ۸ و ۱۱ مشخص است، کاهش نشان می دهد، اما به دلیل بالا بودن فاصله توقف مابین آلمینیوم و فولاد فصل

- Alloy/Titanium/Steel”, Transactions of the Japan Welding Society, Vol. 17, No. 2, pp. 110-116, 1986.
- [6] T. Izuma, K. Hokamoto, M. Fujita & M. Aoyagi “Single-shot explosive welding of hard-to-weld A5083/SUS304 clad using SUS304 intermediate plate”, Welding International, Vol. 6, pp. 941-946, 1992.
- [7] J. Hyun Han, J. Pyoung Ahn & M. Chul Shin, “Effect of interlayer thickness on shear deformation behavior of AA5083 aluminum alloy/SS41 steel plates manufactured by explosive welding”, of material science, Vol. 38 ,pp. 13– 18, 2003.
- [8] س. ع. ا. اکبری موسوی، ا. مکی، ”بررسی فصل مشترک جوشکاری انفجاری اتصال سه لایه ورقهای آلمینیوم ۵۰۸۳/آلومینیوم ۱۲۵۰/فولاد دریابی”， پایان نامه کارشناسی دانشکده مهندسی و متالورژی مواد دانشگاه تهران، ۱۳۸۷،
- [9] ASTM A578, “Standard Specification for Straight-Beam Ultrasonic Examination of Rolled Steel Plates for Special Applications”, 2012.
- [10] DIN 50162, “Testing of clad steels; determination of shear strength between cladding metal and parent metal in shear test”, 1978.
- [11][B. Crossland, “Explosive welding of metals and its application”, Clarendon press, Oxford, 1982.
- [12][S. A. A. Akbari Mousaviand & P. FarhadiSartangi, “Experimental investigation of explosive welding of cp-titanium/AISI 304 stainless steel”, Materials and Design, Vol. 30, pp. 459-468, 2009.
- [13] S. A. A. Akbari Mousavi & S. T. S Al-Hassani “Numerical and experimental studies of mechanism of wavy interface formations in explosive/impact welding”, Journal of the Mechanics and Physics of Solids, Vol. 53, pp. 2501-2528, 2005.
- [14] S. A. A. Akbari Mousavi & S. T. S. Al-Hassani, W. Byers Brown & S. J. Burley, “Simulation of explosive welding with ANFO mixtures”, Propellants, Explosives, Pyrotechnics, Vol. 29, pp. 188–196, 2004.
- [15] L. Tricarico & R. Spina, “Effects of heat treatments on mechanical properties of Fe/Al فصل مشترکی موجی و قادر ترکیبات بین فلزی (شکل ۸) با استحکام بالاتر به عنوان آزمون با استحکام مناسب تر معرفی می شود.
- #### ۴- نتیجه گیری
- ۱- فصل مشترک موجی و موجی مسطح مابین آلومینیوم های صفحه واسط و صفحه پرنده براساس تغییر فاصله توقف ایجاد شده است.
- ۲- با تغییر فاصله توقف و میزان انرژی جنبشی ناشی از برخورد انتقال یافته به فصل مشترک، فصل مشترکی موجی و موجی گردابه ای با مناطق ذوب موضعی در مجاورت گردابه امواج مابین صفحه واسط آلومینیوم خالص و صفحه پایه فولاد ایجاد شده است.
- ۳- براساس ماهیت حرکت چرخشی جت جهنده، ترکیب مناطق ذوب موضعی در مجاورت امواج مخلوطی از عناصر صفحه پایه فولادی و صفحه واسط آلومینیومی است.
- ۴- تشکیل ترکیبات ذوب موضعی در مجاورت امواج و کاهش دامنه امواج باعث کاهش استحکام برشی فصل مشترک آلومینیوم به فولاد شده است.
- #### ۵- مراجع
- [1] ASM Committee on Explosion welding; “Explosion Welding”, 1983.
- [2] T. Z Blazynski, ”Explosive Welding, Forming and Compaction”, Applide Science publisher, London, 1983.
- [3] R. A. Patterson, “Fundamentals of Exolosion Welding”, Los Alamos National. Laboratory., USA, 1985.
- [4] Samardzic, B. Matesa & I. Kladaric, “The influence of heat treatment on properties of three-metal explosion joint: AlMg-Al-steel”, Metabk, Vol. 50, pp. 159-162, 2011.
- [5] Tatsukawa, “Interfacial phenomena in Explosive Welding of Al-Mg Alloy/Steeland Al-Mg

[16] Military standard number J-24445A, “Military specification for joint, bimetallic, bonded aluminum to steel”, 1995.

explosion-welded structural transition joints”, Material and Design, Vol. 30, pp. 2693–2700, 2009.

## ۶- پی نوشت

- [1] Izuma
- [2] EDS